



# 噪声中信号的统计检测

清华大学电子工程系

杨健

杨健

清华大学电子工程系



## 1.引言

- 在噪声中检测信号，不论采用何种准则，都归结为似然比检验。
- 信号的检测也就是要利用概率与统计的工具来设计“最佳”接收机。这些接收机应尽可能地从噪声中分离出有用信号。
- 匹配滤波器是信号检测理论中的一个重要课题，它根据最大输出信噪比的准则来设计最佳接收机形式。



## 2. 匹配滤波器

- Cauchy-Schwartz不等式

信号  $x$  的能量给定时，什么样的  $x$  能够最大化  $\sum_{i=1}^N a_i x_i$

$$\max \quad a_1 x_1 + a_2 x_2 + \cdots + a_n x_n$$

$$s.t. \quad x_1^2 + x_2^2 + \cdots + x_n^2 = 1$$



## 2. 匹配滤波器

- Cauchy-Schwartz不等式

信号  $x$  的能量给定时，什么样的  $x$  能够最大化  $\sum_{i=1}^N a_i x_i$

$$\max a_1 x_1 + a_2 x_2 + \cdots + a_n x_n$$

$$s.t. \quad x_1^2 + x_2^2 + \cdots + x_n^2 = 1$$

柯西许瓦兹不等式: 
$$\sum_{i=1}^n x_i y_i \leq \sqrt{\sum_{i=1}^n x_i^2} \cdot \sqrt{\sum_{i=1}^n y_i^2}$$

等号取到当且仅当: 
$$x_i = t y_i \quad i = 1, 2, \dots, N$$

**3分钟时间：如何证明？复数形式的不等式应该是何形式？**



## 柯西-施瓦兹不等式的证明

对任意  $t \in \mathbb{R}$

$$\sum_{i=1}^N (x_i - ty_i)^2 \geq 0$$

$$\sum_{i=1}^N (x_i - ty_i)^2 = \sum_{i=1}^N (x_i^2 + t^2 y_i^2 - 2tx_i y_i) = t^2 \sum_{i=1}^N y_i^2 - t \sum_{i=1}^N 2x_i y_i + \sum_{i=1}^N x_i^2 \geq 0$$

$$\sum_{i=1}^n x_i y_i \leq \sqrt{\sum_{i=1}^n x_i^2} \cdot \sqrt{\sum_{i=1}^n y_i^2}$$
$$x_i = ty_i \quad i = 1, 2, \dots, N$$



## 柯西-施瓦兹不等式的证明

$$\text{对任意 } t \in \mathbb{R} \quad \sum_{i=1}^N (x_i - ty_i)^2 \geq 0$$

$$\sum_{i=1}^n x_i y_i \leq \sqrt{\sum_{i=1}^n x_i^2} \cdot \sqrt{\sum_{i=1}^n y_i^2}$$
$$x_i = ty_i \quad i = 1, 2, \dots, N$$

$$\sum_{i=1}^N (x_i - ty_i)^2 = \sum_{i=1}^N (x_i^2 + t^2 y_i^2 - 2tx_i y_i) = t^2 \sum_{i=1}^N y_i^2 - t \sum_{i=1}^N 2x_i y_i + \sum_{i=1}^N x_i^2 \geq 0$$

一个关于  $t$  的二次函数，何时才能对任意  $t \in \mathbb{R}$  恒大于等于0

$$\Rightarrow \Delta = \left( \sum_{i=1}^N 2x_i y_i \right)^2 - 4 \left( \sum_{i=1}^N x_i^2 \right) \left( \sum_{i=1}^N y_i^2 \right) \leq 0$$

$$\Rightarrow \left( \sum_{i=1}^N x_i y_i \right)^2 \leq \left( \sum_{i=1}^N x_i^2 \right) \left( \sum_{i=1}^N y_i^2 \right)$$

何时取等于号  $\Leftrightarrow \Delta = 0$

$\Leftrightarrow$  存在  $t \in \mathbb{R}, s.t. x_i - ty_i = 0 \quad i = 1, 2, \dots, N$



柯西-施瓦兹不等式可以推广至连续情况

$$\int_a^b f(x)g(x)dx \leq \left( \int_a^b f^2(x)dx \right)^{\frac{1}{2}} \left( \int_a^b g^2(x)dx \right)^{\frac{1}{2}}$$

等号充要条件:  $f(x) = tg(x)$

$$\sum_{i=1}^n x_i y_i \leq \sqrt{\sum_{i=1}^n x_i^2} \cdot \sqrt{\sum_{i=1}^n y_i^2}$$
$$x_i = ty_i \quad i = 1, 2, \dots, N$$



柯西-施瓦兹不等式可以推广至连续情况

$$\int_a^b f(x)g(x)dx \leq \left( \int_a^b f^2(x)dx \right)^{\frac{1}{2}} \left( \int_a^b g^2(x)dx \right)^{\frac{1}{2}}$$

等号充要条件:  $f(x) = tg(x)$

$$\sum_{i=1}^n x_i y_i \leq \sqrt{\sum_{i=1}^n x_i^2} \cdot \sqrt{\sum_{i=1}^n y_i^2}$$
$$x_i = ty_i \quad i = 1, 2, \dots, N$$

也可以推广至复数情况

$$\left| \int_a^b f(x)g(x)dx \right| \leq \left( \int_a^b |f(x)|^2 dx \right)^{\frac{1}{2}} \left( \int_a^b |g(x)|^2 dx \right)^{\frac{1}{2}}$$

等号充要条件:  $f(x) = tg^*(x)$

作业: 证明复数情况下的积分形式的柯西-施瓦兹不等式





## 2. 匹配滤波器

- Cauchy-Schwartz不等式

信号  $x$  的能量给定时，什么样的  $x$  能够最大化  $\sum_{i=1}^N a_i x_i$

柯西许瓦兹不等式: 
$$\sum_{i=1}^n x_i y_i \leq \sqrt{\sum_{i=1}^n x_i^2} \cdot \sqrt{\sum_{i=1}^n y_i^2}$$

等号取到当且仅当:  $x_i = t y_i \quad i = 1, 2, \dots, N$

**复数形式时当且仅当  $x_i = t y_i^*$  时目标函数取最大值**

$$\max |3x - 4y + 5iz|$$

$$|x|^2 + |y|^2 + |z|^2 = 1$$



## 2. 白噪声下的匹配滤波器

- Cauchy-Schwartz不等式

信号  $x$  的能量给定时，什么样的  $x$  能够最大化  $\sum_{i=1}^N a_i x_i$

柯西许瓦兹不等式: 
$$\sum_{i=1}^n x_i y_i \leq \sqrt{\sum_{i=1}^n x_i^2} \cdot \sqrt{\sum_{i=1}^n y_i^2}$$

等号取到当且仅当:  $x_i = t y_i \quad i = 1, 2, \dots, N$

**复数形式时当且仅当  $x_i = t y_i^*$  时目标函数取最大值**

$$\max |3x - 4y + 5iz|$$

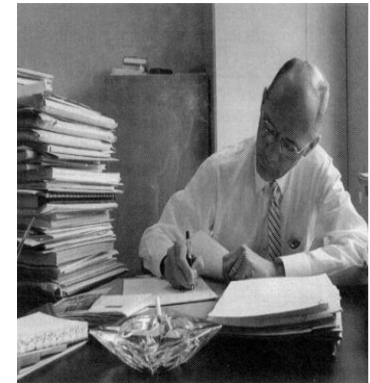
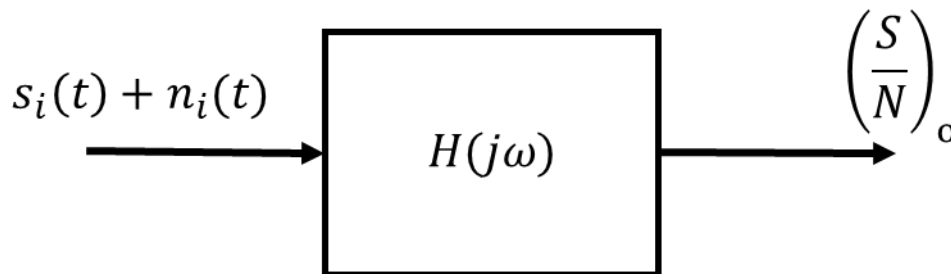
$$|x|^2 + |y|^2 + |z|^2 = 1$$

$$x = \frac{3}{5\sqrt{2}}, y = \frac{-4}{5\sqrt{2}}, z = \frac{-5i}{5\sqrt{2}}$$

**最初的匹配滤波器**



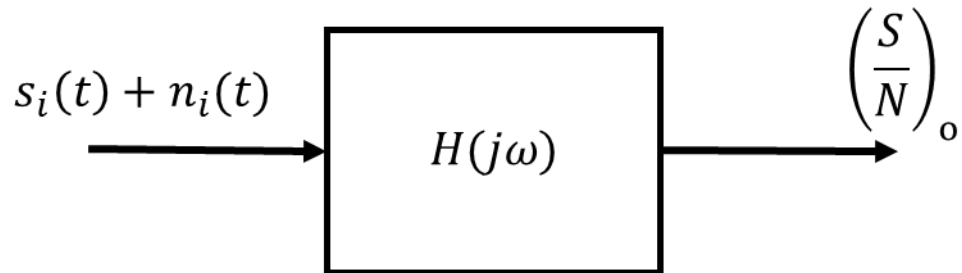
- **回到匹配滤波器：**对于线性系统而言，输入端为信号加噪声，在输入信号形式和噪声统计特性已知的条件下，选择滤波器的特性，使输出信号/噪声比达到最大可能值，这种滤波器为“匹配滤波器”



诺斯1943年提出匹配滤波理论，1988年获IEEE信息学会金奖

其中，滤波器的传递函数为  $H(j\omega)$

信号为  $s_i(t)$ ，噪声  $n_i(t)$  为功率谱密度  $\Phi_n(\omega) = \frac{N_0}{2}$  的高斯白噪声



- 输入信号频谱为

$$s_i(t) \Leftrightarrow S_i(j\omega) = \int_{-\infty}^{\infty} s_i(t) e^{-j\omega t} dt$$

- 输出信号频谱为

$$S_o(j\omega) = S_i(j\omega)H(j\omega)$$

- 输出信号为

$$s_o(t) = \frac{1}{2\pi} \int_{-\infty}^{\infty} S_o(j\omega) e^{j\omega t} d\omega$$



- 高斯白噪声输出端平均功率为

$$\overline{n_o^2(t)} = \frac{1}{2\pi} \int_0^\infty \Phi_n(\omega) |H(j\omega)|^2 d\omega = \frac{N_0}{2} \frac{1}{2\pi} \int_{-\infty}^\infty |H(j\omega)|^2 d\omega$$



- 高斯白噪声输出端平均功率为

$$\overline{n_o^2(t)} = \frac{1}{2\pi} \int_0^\infty \Phi_n(\omega) |H(j\omega)|^2 d\omega = \frac{N_0}{2} \frac{1}{2\pi} \int_{-\infty}^\infty |H(j\omega)|^2 d\omega$$

- 在  $t = t_0$  时刻，输出信号为

$$s_o(t_0) = \frac{1}{2\pi} \int_{-\infty}^\infty S_i(j\omega) H(j\omega) e^{j\omega t_0} d\omega$$

$$s_o(t) = \frac{1}{2\pi} \int_{-\infty}^\infty S_o(j\omega) e^{j\omega t} d\omega$$



- 高斯白噪声输出端平均功率为

$$s_o(t) = \frac{1}{2\pi} \int_{-\infty}^{\infty} S_o(j\omega) e^{j\omega t} d\omega$$

$$\overline{n_o^2(t)} = \frac{1}{2\pi} \int_0^{\infty} \Phi_n(\omega) |H(j\omega)|^2 d\omega = \frac{N_0}{2} \frac{1}{2\pi} \int_{-\infty}^{\infty} |H(j\omega)|^2 d\omega$$

- 在  $t = t_0$  时刻，输出信号为

$$s_o(t_0) = \frac{1}{2\pi} \int_{-\infty}^{\infty} S_i(j\omega) H(j\omega) e^{j\omega t_0} d\omega$$

- 输出信噪比为

$$\begin{aligned} \gamma &= \left( \frac{S}{N} \right)_o = \frac{|s_o(t_0)|^2}{\overline{n_o^2(t)}} \\ &= \frac{\left( \frac{1}{2\pi} \right)^2 \left[ \int_{-\infty}^{\infty} S_i(j\omega) H(j\omega) e^{j\omega t_0} d\omega \right]^2}{\frac{N_0}{2} \left( \frac{1}{2\pi} \right) \int_{-\infty}^{\infty} |H(j\omega)|^2 d\omega} \end{aligned}$$



- 输入信号能量为

$$\begin{aligned} E &= \int_{-\infty}^{\infty} s_i^2(t) dt = \int_{-\infty}^{\infty} s_i(t) \cdot \frac{1}{2\pi} \int_{-\infty}^{\infty} S_i(j\omega) e^{j\omega t} d\omega dt \\ &= \frac{1}{2\pi} \int_{-\infty}^{\infty} S_i(j\omega) \int_{-\infty}^{\infty} s_i(t) e^{j\omega t} dt d\omega \\ &= \frac{1}{2\pi} \int_{-\infty}^{\infty} S_i(j\omega) S_i^*(j\omega) d\omega \\ &= \frac{1}{2\pi} \int_{-\infty}^{\infty} |S_i(j\omega)|^2 d\omega \end{aligned}$$





- 输入信号能量为

$$\begin{aligned} E &= \int_{-\infty}^{\infty} s_i^2(t) dt = \int_{-\infty}^{\infty} s_i(t) \cdot \frac{1}{2\pi} \int_{-\infty}^{\infty} S_i(j\omega) e^{j\omega t} d\omega dt \\ &= \frac{1}{2\pi} \int_{-\infty}^{\infty} S_i(j\omega) \int_{-\infty}^{\infty} s_i(t) e^{j\omega t} dt d\omega \\ &= \frac{1}{2\pi} \int_{-\infty}^{\infty} S_i(j\omega) S_i^*(j\omega) d\omega \\ &= \frac{1}{2\pi} \int_{-\infty}^{\infty} |S_i(j\omega)|^2 d\omega \end{aligned}$$

- 则

$$\begin{aligned} \gamma &= \left( \frac{S}{N} \right)_o = \frac{|s_o(t_0)|^2}{n_o^2(t)} \\ &= \frac{\left( \frac{1}{2\pi} \right)^2 \left[ \int_{-\infty}^{\infty} S_i(j\omega) H(j\omega) e^{j\omega t_0} d\omega \right]^2}{\frac{N_0}{2} \left( \frac{1}{2\pi} \right) \int_{-\infty}^{\infty} |H(j\omega)|^2 d\omega} \end{aligned}$$



- 输入信号能量为

$$\begin{aligned} E &= \int_{-\infty}^{\infty} s_i^2(t) dt = \int_{-\infty}^{\infty} s_i(t) \cdot \frac{1}{2\pi} \int_{-\infty}^{\infty} S_i(j\omega) e^{j\omega t} d\omega dt \\ &= \frac{1}{2\pi} \int_{-\infty}^{\infty} S_i(j\omega) \int_{-\infty}^{\infty} s_i(t) e^{j\omega t} dt d\omega \\ &= \frac{1}{2\pi} \int_{-\infty}^{\infty} S_i(j\omega) S_i^*(j\omega) d\omega \\ &= \frac{1}{2\pi} \int_{-\infty}^{\infty} |S_i(j\omega)|^2 d\omega \end{aligned}$$

$$\begin{aligned} \gamma &= \left( \frac{S}{N} \right)_o = \frac{|s_o(t_0)|^2}{n_o^2(t)} \\ &= \frac{\left( \frac{1}{2\pi} \right)^2 \left[ \int_{-\infty}^{\infty} S_i(j\omega) H(j\omega) e^{j\omega t_0} d\omega \right]^2}{\frac{N_0}{2} \left( \frac{1}{2\pi} \right) \int_{-\infty}^{\infty} |H(j\omega)|^2 d\omega} \end{aligned}$$

- 则

$$\begin{aligned} \frac{\gamma}{E} &= \frac{\left( \frac{1}{2\pi} \right)^2 \left[ \int_{-\infty}^{\infty} S_i(j\omega) H(j\omega) e^{j\omega t_0} d\omega \right]^2}{\frac{N_0}{2} \left( \frac{1}{2\pi} \right)^2 \int_{-\infty}^{\infty} |H(j\omega)|^2 d\omega \int_{-\infty}^{\infty} |S_i(j\omega)|^2 d\omega} \\ &= \frac{2 \left[ \int_{-\infty}^{\infty} S_i(j\omega) H(j\omega) e^{j\omega t_0} d\omega \right]^2}{N_0 \int_{-\infty}^{\infty} |H(j\omega)|^2 d\omega \int_{-\infty}^{\infty} |S_i(j\omega)|^2 d\omega} \end{aligned}$$



- 利用Schwartz不等式

$$\left| \int_a^b f(x) g(x) dx \right| \leq \left( \int_a^b |f(x)|^2 dx \right)^{\frac{1}{2}} \left( \int_a^b |g(x)|^2 dx \right)^{\frac{1}{2}}$$

等号充要条件:  $f(x) = t g^*(x)$



• 利用Schwartz不等式

$$\left| \int_a^b f(x)g(x)dx \right| \leq \left( \int_a^b |f(x)|^2 dx \right)^{\frac{1}{2}} \left( \int_a^b |g(x)|^2 dx \right)^{\frac{1}{2}}$$

等号充要条件:  $f(x) = tg^*(x)$

• 则

$$\frac{\gamma}{E} = \frac{2 \left[ \int_{-\infty}^{\infty} S_i(j\omega)H(j\omega)e^{j\omega t_0} d\omega \right]^2}{N_0 \int_{-\infty}^{\infty} |H(j\omega)|^2 \int_{-\infty}^{\infty} |S_i(j\omega)|^2 d\omega}$$



- 利用Schwartz不等式

$$\left| \int_a^b f(x)g(x)dx \right| \leq \left( \int_a^b |f(x)|^2 dx \right)^{\frac{1}{2}} \left( \int_a^b |g(x)|^2 dx \right)^{\frac{1}{2}}$$

等号充要条件:  $f(x) = tg^*(x)$

- 则

$$\frac{\gamma}{E} = \frac{2 \left[ \int_{-\infty}^{\infty} S_i(j\omega)H(j\omega)e^{j\omega t_0} d\omega \right]^2}{N_0 \int_{-\infty}^{\infty} |H(j\omega)|^2 d\omega \int_{-\infty}^{\infty} |S_i(j\omega)|^2 d\omega}$$

$$\therefore \left| \int_{-\infty}^{\infty} S_i(j\omega)H(j\omega)e^{j\omega t_0} d\omega \right|^2 \leq \int_{-\infty}^{\infty} |S_i(j\omega)|^2 d\omega \cdot \int_{-\infty}^{\infty} |H(j\omega)|^2 d\omega$$

$$\therefore \frac{\gamma}{E} \leq \frac{2}{N_0} \quad \left( \frac{S}{N} \right)_o \leq \frac{2E}{N_0}$$



$$\frac{\gamma}{E} = \frac{2 \left[ \int_{-\infty}^{\infty} S_i(j\omega) H(j\omega) e^{j\omega t_0} d\omega \right]^2}{N_0 \int_{-\infty}^{\infty} |H(j\omega)|^2 \int_{-\infty}^{\infty} |S_i(j\omega)|^2 d\omega}$$

$$\therefore \left| \int_{-\infty}^{\infty} S_i(j\omega) H(j\omega) e^{j\omega t_0} d\omega \right|^2 \leq \int_{-\infty}^{\infty} |S_i(j\omega)|^2 d\omega \cdot \int_{-\infty}^{\infty} |H(j\omega)|^2 d\omega$$

$$\therefore \frac{\gamma}{E} \leq \frac{2}{N_0} \quad \left( \frac{S}{N} \right)_o \leq \frac{2E}{N_0}$$

• 等号成立时要求

$$H(j\omega) = k S_i^*(j\omega) e^{-j\omega t_0}$$



$$\therefore \left| \int_{-\infty}^{\infty} S_i(j\omega) H(j\omega) e^{j\omega t_0} d\omega \right|^2 \leq \int_{-\infty}^{\infty} |S_i(j\omega)|^2 d\omega \cdot \int_{-\infty}^{\infty} |H(j\omega)|^2 d\omega$$

代入  $H(j\omega) = kS_i^*(j\omega)e^{-j\omega t_0}$  后

不等式左边：

$$\left[ \int_{-\infty}^{\infty} S_i(j\omega) [kS_i^*(j\omega)e^{-j\omega t_0}] e^{j\omega t_0} d\omega \right]^2 = \left[ \int_{-\infty}^{\infty} k|S_i(j\omega)|^2 d\omega \right]^2$$

不等式右边：

$$\int_{-\infty}^{\infty} |S_i(j\omega)|^2 d\omega \cdot \int_{-\infty}^{\infty} |kS_i^*(j\omega)e^{-j\omega t_0}|^2 d\omega = \left[ \int_{-\infty}^{\infty} k|S_i(j\omega)|^2 d\omega \right]^2$$



- 因此，匹配滤波器要求滤波器的频率特性是信号频谱复共轭

$$\text{设 } S_i(j\omega) = |S_i(j\omega)|e^{j\theta(\omega)}, \quad H(j\omega) = |H(j\omega)|e^{j\varphi(\omega)}$$





- 因此，匹配滤波器要求滤波器的频率特性是信号频谱复共轭

$$\text{设 } S_i(j\omega) = |S_i(j\omega)|e^{j\theta(\omega)}, \quad H(j\omega) = |H(j\omega)|e^{j\varphi(\omega)}$$

- 滤波器的幅频特性与信号频谱相同：  
 $|H(j\omega)| = k|S_i(j\omega)|$



- 因此，匹配滤波器要求滤波器的频率特性是信号频谱复共轭

$$\text{设 } S_i(j\omega) = |S_i(j\omega)|e^{j\theta(\omega)}, \quad H(j\omega) = |H(j\omega)|e^{j\varphi(\omega)}$$

- 滤波器的幅频特性与信号频谱相同：

$$|H(j\omega)| = k|S_i(j\omega)|$$

- 滤波器的相频特性与信号相频特性反号：

$$\varphi(\omega) = -[\theta(\omega) + \omega t_0]$$



- 因此，匹配滤波器要求滤波器的频率特性是信号频谱复共轭

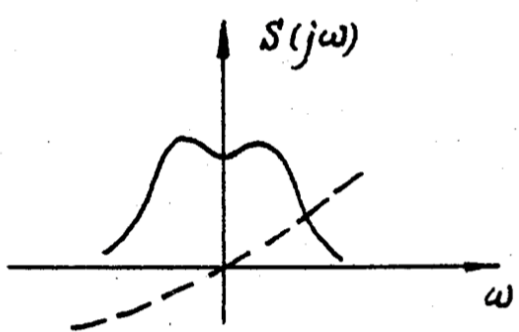
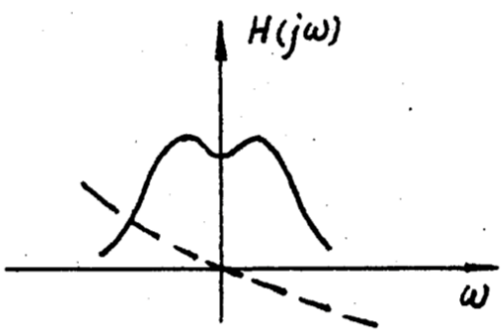
设  $S_i(j\omega) = |S_i(j\omega)|e^{j\theta(\omega)}$  ,       $H(j\omega) = |H(j\omega)|e^{j\varphi(\omega)}$

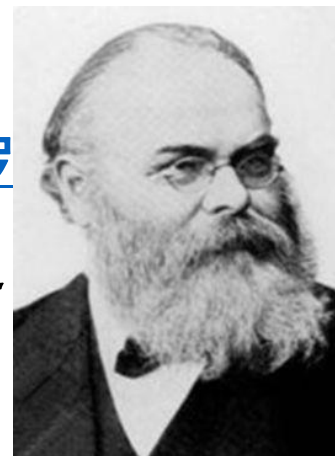
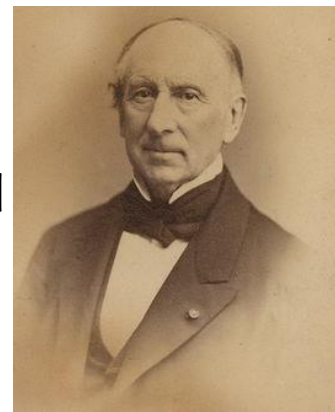
- 滤波器的幅频特性与信号频谱相同：

$$|H(j\omega)| = k|S_i(j\omega)|$$

- 滤波器的相频特性与信号相频特性反号：

$$\varphi(\omega) = -[\theta(\omega) + \omega t_0]$$





显然匹配滤波器的数学基础是柯西-施瓦兹不等式。

- 柯西（1789–1857）：法国大数学家、物理学家、天文学家。极限理论以及积分几何学的创始人之一。在常微分方程和弹性力学、代数等方面都有突出贡献。青少年时深受拉格朗日和拉普拉斯的器重，拉格朗日预言柯西日后必成数学大家。

（正凸 $n$ 面体只有五种： $n=4, 6, 8, 12, 20$ ）

- 施瓦兹（1843–1921）：法国/德国大数学家，施瓦茨是继克罗内克、库默尔和魏尔斯特拉斯等人之后德国数学界的领导人之一，对20世纪初期的数学发展做出了重要贡献。



## 时域分析

- 从时域的观点来分析，求匹配滤波器的冲激响应

$$\begin{aligned} h(t) &= \frac{1}{2\pi} \int_{-\infty}^{\infty} H(j\omega) e^{j\omega t} d\omega \\ &= \frac{1}{2\pi} \int_{-\infty}^{\infty} k S^*(j\omega) e^{j\omega(t-t_0)} d\omega \\ &= \frac{1}{2\pi} \int_{-\infty}^{\infty} k S_i(-j\omega) e^{j(-\omega)(t_0-t)} d\omega \end{aligned}$$



## 时域分析

- 从时域的观点来分析，求匹配滤波器的冲激响应

$$\begin{aligned}h(t) &= \frac{1}{2\pi} \int_{-\infty}^{\infty} H(j\omega) e^{j\omega t} d\omega \\&= \frac{1}{2\pi} \int_{-\infty}^{\infty} kS^*(j\omega) e^{j\omega(t-t_0)} d\omega \\&= \frac{1}{2\pi} \int_{-\infty}^{\infty} kS_i(-j\omega) e^{j(-\omega)(t_0-t)} d\omega\end{aligned}$$

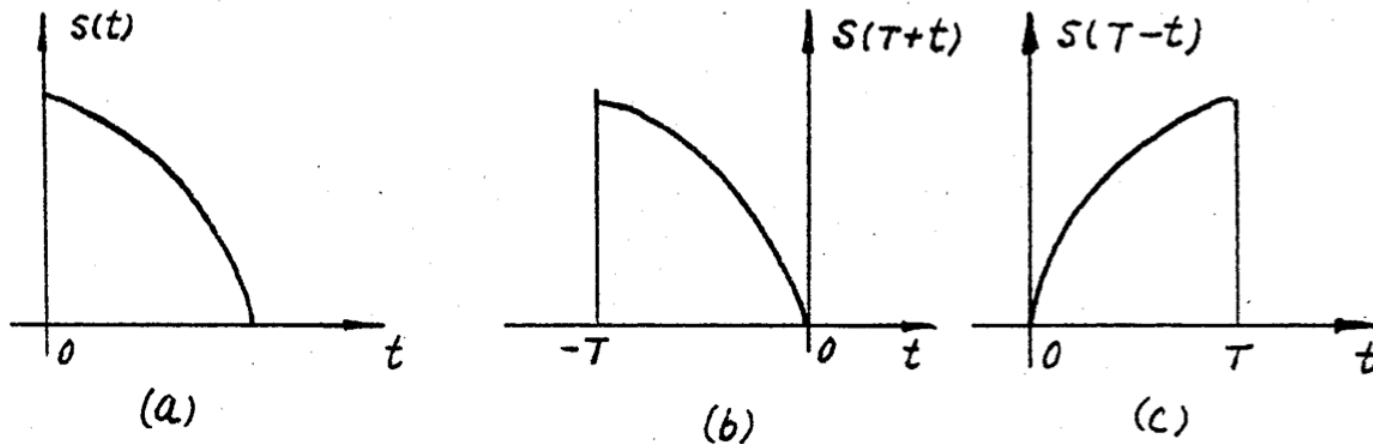
令  $\omega' = -\omega$

$$\begin{aligned}h(t) &= \frac{1}{2\pi} \int_{-\infty}^{\infty} kS_i(j\omega') e^{j\omega'(t_0-t)} d\omega' \\&= ks_i(t_0 - t)\end{aligned}$$

- 匹配滤波器的冲激响应为信号时间函数的镜像



- 匹配滤波器冲激响应可以用作图的方法得到



- 信号左移 $T$ 再绕纵轴翻转得到的镜像为冲激响应



- 信号经过匹配滤波器输出为

$$\begin{aligned} s_o(t) &= \frac{1}{2\pi} \int_{-\infty}^{\infty} S_i(j\omega) H(j\omega) e^{j\omega t} d\omega \\ &= \frac{1}{2\pi} \int_{-\infty}^{\infty} S_i(j\omega) e^{j\omega t} \int_0^{\infty} k s_i(t_0 - \tau) e^{-j\omega \tau} d\tau d\omega \\ &= \frac{1}{2\pi} \int_0^{\infty} k s_i(t_0 - \tau) \int_{-\infty}^{\infty} S_i(j\omega) e^{j\omega(t-\tau)} d\omega d\tau \\ &= \int_0^{\infty} k s_i(t_0 - \tau) s_i(t - \tau) d\tau \\ &= \int_0^{\infty} h(\tau) s_i(t - \tau) d\tau \end{aligned}$$

- 匹配滤波器输出是信号与冲激响应的卷积，所以是信号的自相关函数





## 举例:单个矩形脉冲的匹配滤波器

$$s(t) = \begin{cases} a & 0 \leq t \leq \tau \\ 0 & \text{其它} \end{cases}$$

### 信号频谱

$$S(\omega) = \int_{-\infty}^{\infty} s(t)e^{-j\omega t} dt = \int_0^{\tau} ae^{-j\omega t} dt = \frac{a}{j\omega} (1 - e^{-j\omega\tau})$$

取匹配滤波器的时间  $t_0 = \tau$

匹配滤波器为

$$H(\omega) = \frac{ca}{-j\omega} (1 - e^{j\omega\tau}) e^{-j\omega\tau} = \frac{ca}{j\omega} (1 - e^{-j\omega\tau})$$

冲激响应为

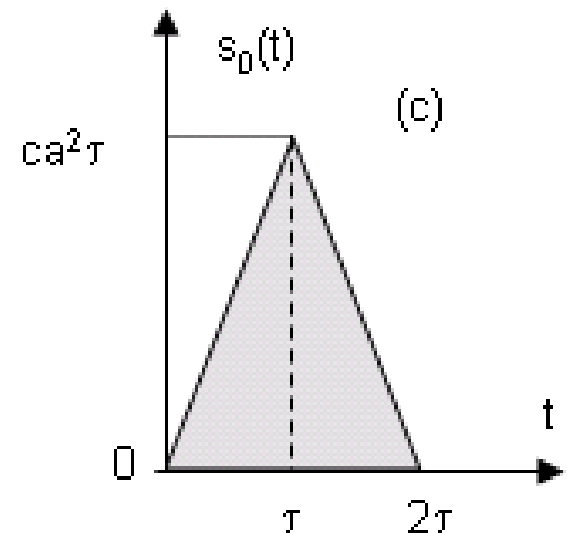
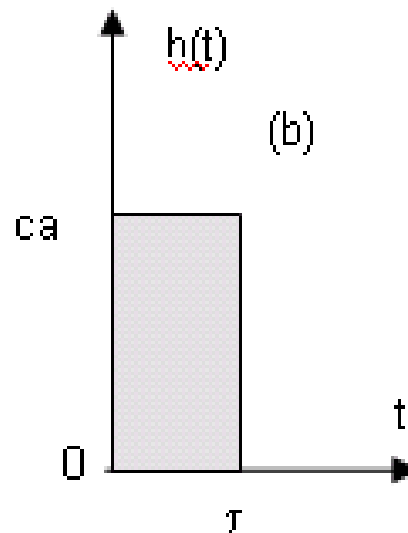
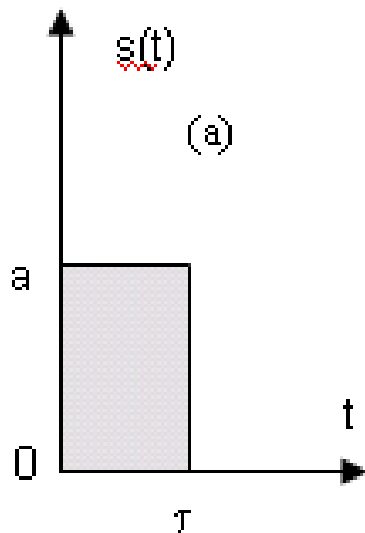
$$h(t) = cs(t)$$



## 匹配滤波器的输出信号

$$s_0(t) = s(t) \otimes h(t) = cs(t) \otimes s(t) = \begin{cases} ca^2 t & 0 \leq t \leq \tau \\ ca^2 (2\tau - t) & \tau \leq t \leq 2\tau \\ 0 & 0 \end{cases}$$

留意最大值的位置



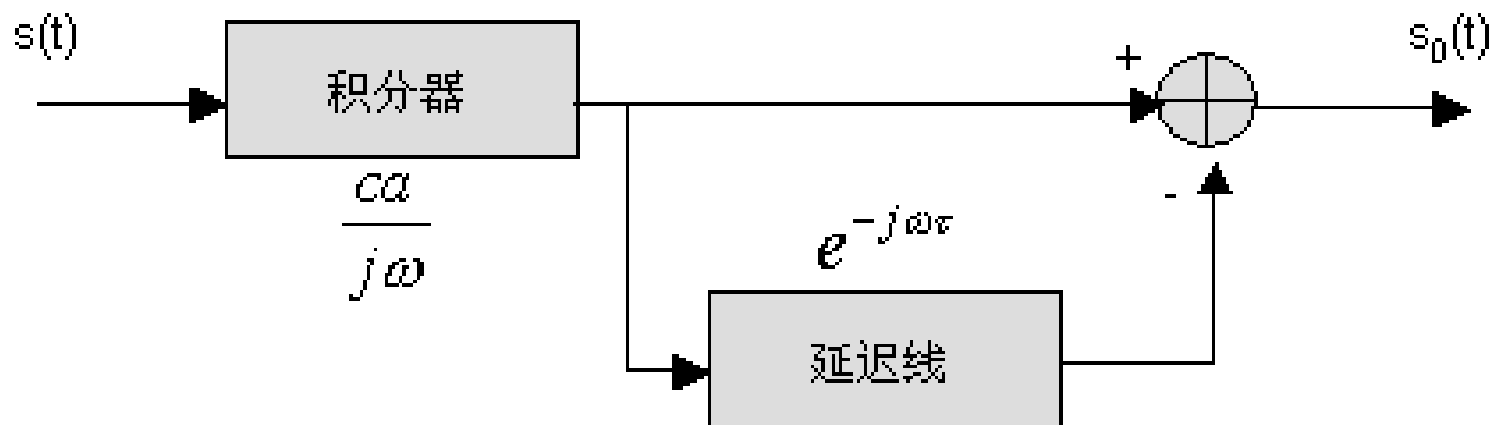
矩形脉冲的匹配滤波器

(a)矩形脉冲信号 (b)匹配滤波器的冲击响应(c)匹配滤波器的输出信号



## 匹配滤波器的实现

$$H(\omega) = \frac{ca}{j\omega} (1 - e^{j\omega\tau})$$



矩形脉冲信号匹配滤波器实现框图



## 匹配滤波器的性质

1) 输出的最大信噪比与输入信号的波形无关

$$d_m = \frac{1}{2\pi} \frac{\int_{-\infty}^{\infty} |S(\omega)|^2 d\omega}{N_0 / 2} = \frac{2E}{N_0}$$

最大信噪比只与信号的能量和噪声的强度有关，与信号的波形无关

2)  $t_0$ 应该选在信号 $s(t)$ 结束之后

$$h(t) = cs(t_0 - t)$$

如果要求系统是物理可实现的,则 $t_0$ 应该选在信号 $s(t)$ 结束之后



3) 匹配滤波器对信号幅度和时延具有适应性

设  $s_1(t) = cs(t - \tau) \quad S_1(\omega) = aS(\omega)e^{-j\omega\tau}$

$$\begin{aligned} H_1(\omega) &= cS_1^*(\omega)e^{-j\omega t_1} \\ &= caS^*(\omega)e^{-j\omega(t_1-\tau)} \\ &= caS^*(\omega)e^{-j\omega t_0}e^{-j\omega(t_1-\tau-t_0)} \\ &= aH(\omega)e^{-j\omega(t_1-\tau-t_0)} \end{aligned}$$

$H(\omega)$

如果选择  $t_1 = \tau + t_0$   $H_1(\omega) = aH(\omega)$



注意:对频移不具有适应性

$$S_2(\omega) = S(\omega + \omega_d)$$

$$H_2(\omega) = cS^*(\omega + \omega_d)e^{-j\omega t_0}$$

不同于 $H(\omega)$



## 结论

- 信号通过匹配滤波器，可以使  $\left(\frac{S}{N}\right)_o$  达到最大。 $\left(\frac{S}{N}\right)_{omax} = \frac{2E}{N_0}$ 。
- 匹配滤波器传输特性与信号频谱共轭

$$H(j\omega) = kS_i^*(j\omega)e^{-j\omega t_0}$$

- 匹配滤波器冲击响应等于输入信号时间函数的镜象

$$h(t) = ks_i(t_0 - t)$$

- 信号通过匹配滤波器其输出等于信号的自相关函数

$$s_o(t) = \int_0^\infty ks_i(t_0 - \tau)s_i(t - \tau)d\tau$$



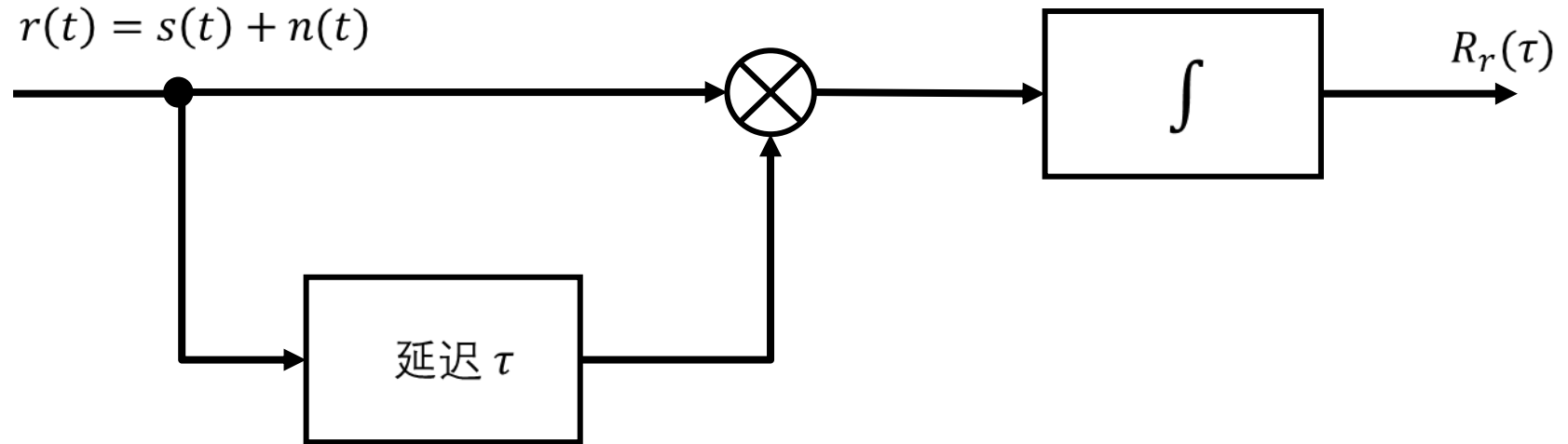
## 3 相关器与匹配滤波器的关系

- 在讨论匹配滤波器的性质时已经知道，匹配滤波器的输出信号在形式上与输入信号的自相关函数相同。
- 在白噪声情况下，匹配滤波器和互相关器是等效的。





- 自相关器





- 自相关器可以在功率谱很宽的噪声干扰下，提取出周期信号来
- 自相关器输入信号  $r(t) = s(t) + n(t)$
- 自相关器的输出信号为

$$\begin{aligned} R_r(\tau) &= \int_{-\infty}^{\infty} (s(t) + n(t))(s(t - \tau) + n(t - \tau)) dt \\ &= R_s(\tau) + R_n(\tau) + R_{sn}(\tau) + R_{ns}(\tau) \end{aligned}$$



- 自相关器可以在功率谱很宽的噪声干扰下，提取出周期信号来
- 自相关器输入信号  $r(t) = s(t) + n(t)$
- 自相关器的输出信号为

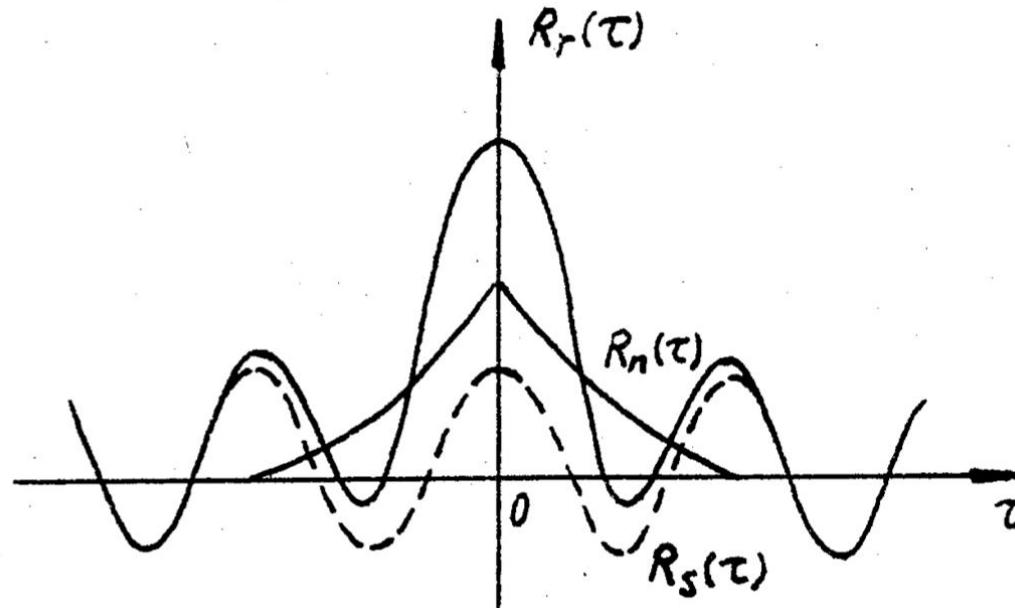
$$\begin{aligned} R_r(\tau) &= \int_{-\infty}^{\infty} (s(t) + n(t))(s(t - \tau) + n(t - \tau)) dt \\ &= R_s(\tau) + R_n(\tau) + R_{sn}(\tau) + R_{ns}(\tau) \end{aligned}$$

- 通常噪声均值为0

$$R_{sn}(\tau) = R_{ns}(\tau) = 0$$



- 信号和噪声的自相关函数可用下图描述

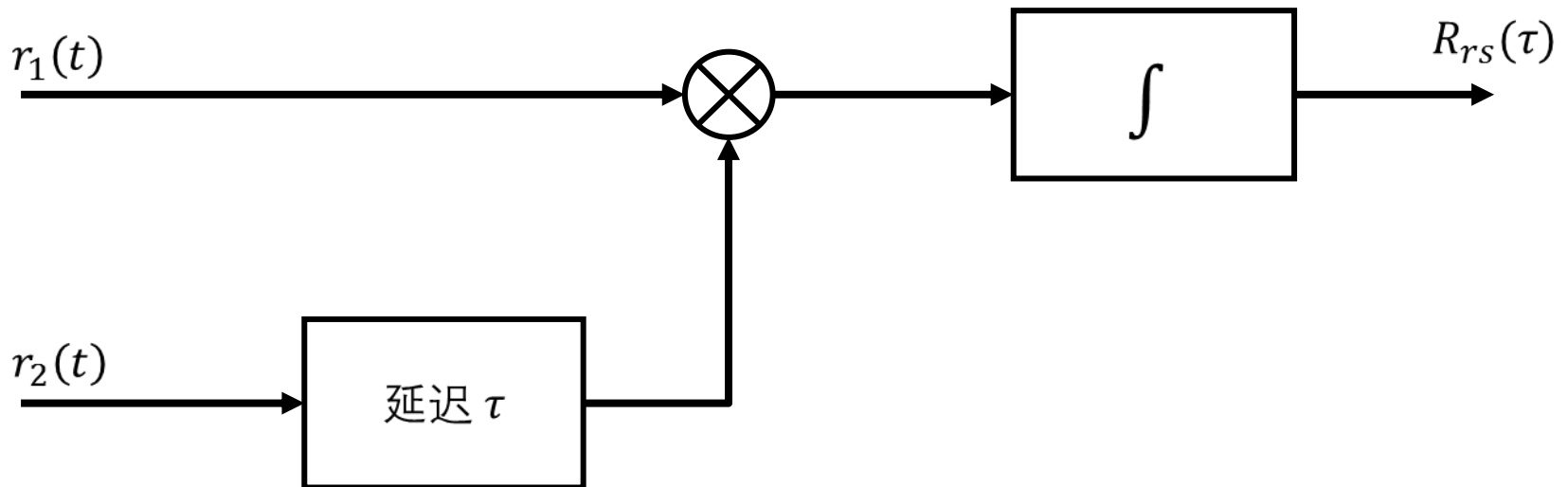


- 自相关器能够用来检测周期信号，是基于噪声的相关时间比信号的相关时间小得多这一事实的。



- 互相关器

$$R_{r_1 r_2} = \int_{-\infty}^{\infty} r_1(t) r_2(t - \tau) dt$$





- 雷达系统中，发射信号的形式通常是已知的，原理上较容易实现互相关接收

$$r_1(t) = s(t - t_r) + n(t) = r(t) \qquad t_r = \frac{2R}{c}$$

$$r_2(t) = s(t)$$

$$\begin{aligned} R_{rs}(\tau) &= \int_{-\infty}^{\infty} (s(t - t_r) + n(t))s(t - \tau)dt \\ &= R_r(\tau - t_r) + R_{ns}(\tau) \end{aligned}$$



- 雷达系统中，发射信号的形式通常是已知的，原理上较容易实现互相关接收

$$r_1(t) = s(t - t_r) + n(t) = r(t) \qquad t_r = \frac{2R}{C}$$

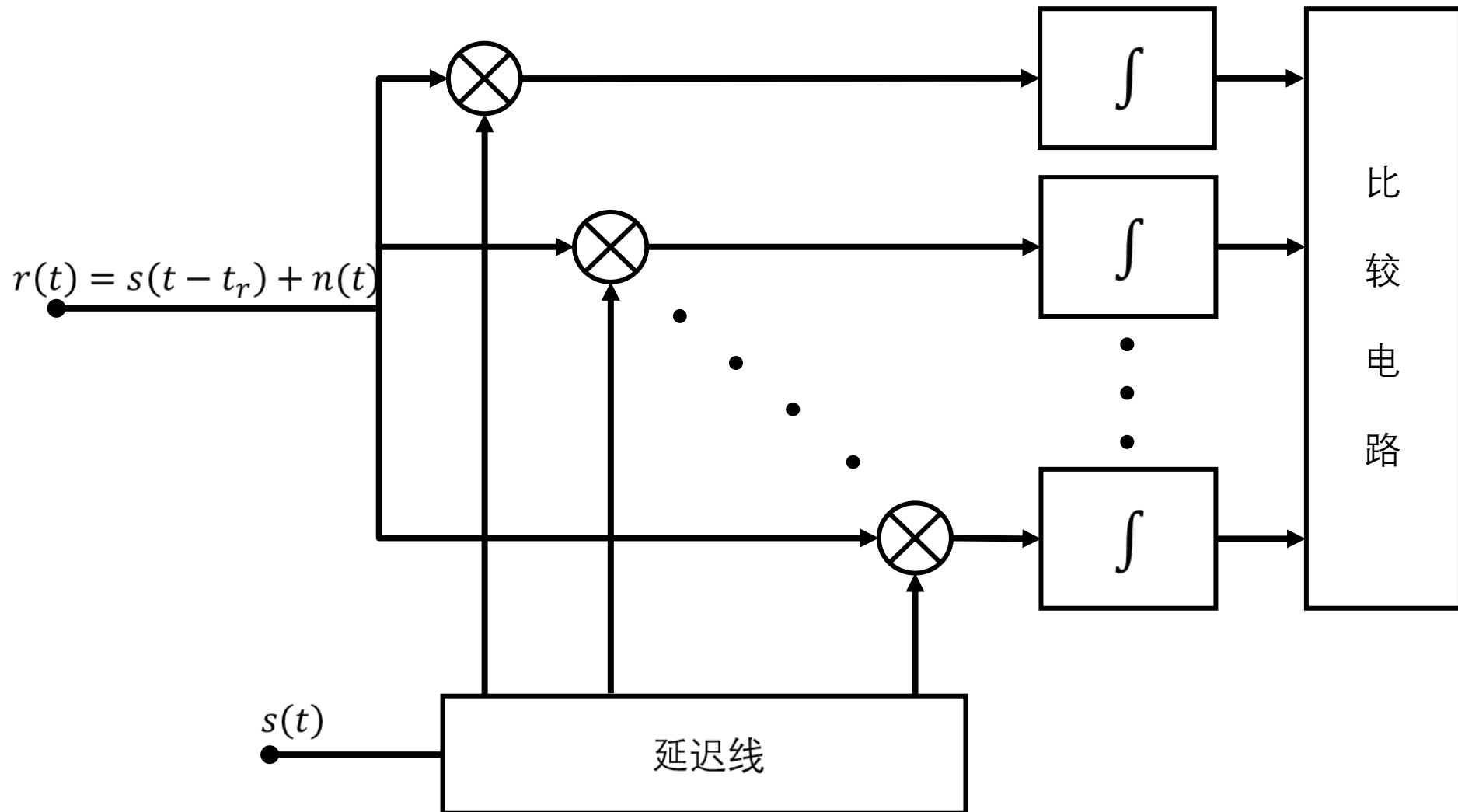
$$r_2(t) = s(t)$$

$$\begin{aligned} R_{rs}(\tau) &= \int_{-\infty}^{\infty} (s(t - t_r) + n(t))s(t - \tau)dt \\ &= R_r(\tau - t_r) + R_{ns}(\tau) \end{aligned}$$

- 当输入信号与噪声不相关时：  $R_{ns}(\tau) = 0$
- 此时输出端得到输入信号的自相关函数
- 据此可以判决信号是否存在



## • 互相关接收器







- 例：设信号  $s(t - t_r)$  是振幅为  $A$ ，宽度为  $\tau$ ，重复周期为  $T_r$ ，时延为  $t_r$  的  $m$  个矩形视频脉冲串。若每个重复周期内时延  $t_r$  都相同，且满足

$$(i-1)T_r \leq (i-1)T_r + t_r \leq iT_r \quad i = 1, 2, \dots, m$$

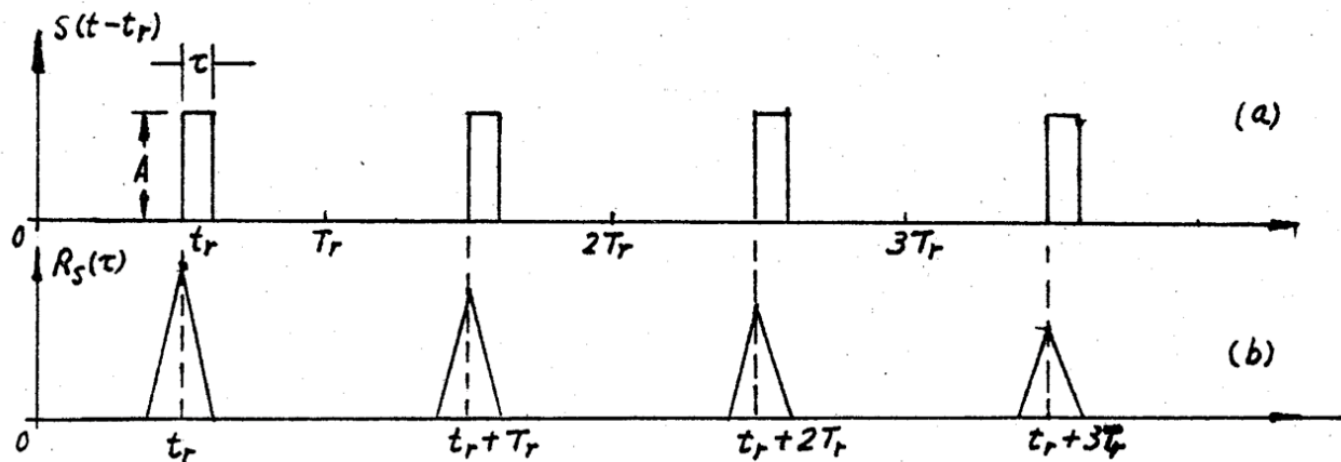
- 求：信号的自相关函数  $R_s(\tau)$  和互相关器输出的最大峰值信噪比



- 例：设信号  $s(t - t_r)$  是振幅为  $A$ ，宽度为  $\tau$ ，重复周期为  $T_r$ ，时延为  $t_r$  的  $m$  个矩形视频脉冲串。若每个重复周期内时延  $t_r$  都相同，且满足

$$(i-1)T_r \leq (i-1)T_r + t_r \leq iT_r \quad i=1, 2, \dots, m$$

- 求：信号的自相关函数  $R_s(\tau)$  和互相关器输出的最大峰值信噪比





- $m$ 个这样的信号的自相关函数 $R_s(\tau)$ 为

$$R_s(\tau) = \int_0^{mT_r} s(t - t_r)s(t - \tau)dt$$

- 其高度为

$$R_s(\tau_j) = (m - j)E_s \quad \tau_j = t_r + jT_r \quad j = 0, 1, 2 \dots m$$



- $m$ 个这样的信号的自相关函数 $R_s(\tau)$ 为

$$R_s(\tau) = \int_0^{mT_r} s(t - t_r)s(t - \tau)dt$$

- 其高度为

$$R_s(\tau_j) = (m - j)E_s \quad \tau_j = t_r + jT_r \quad j = 0, 1, 2 \dots m$$

- 当 $\tau=t_r$ 时,  $R_s(\tau)$ 具有最大峰值, 其高度为

$$R_s(t_r) = mE_s$$

- 噪声与信号的互相关函数为输出噪声成份

$$R_{ns}(\tau) = \int_0^{mT_r} n(t)s(t - \tau)dt$$



- 输出噪声的平均功率为

$$\overline{n_o^2(t)} = \overline{R_{ns}^2(\tau)} = \int_0^{mT_r} \int_0^{mT_r} \overline{n(t_1)n(t_2)} s(t_1 - \tau)s(t_2 - \tau) dt_1 dt_2$$



- 输出噪声的平均功率为

$$\overline{n_o^2(t)} = \overline{R_{ns}^2(\tau)} = \int_0^{mT_r} \int_0^{mT_r} \overline{n(t_1)n(t_2)} s(t_1 - \tau) s(t_2 - \tau) dt_1 dt_2$$

- 若噪声是功率谱密度为  $\frac{N_0}{2}$  的白噪声，则

$$\begin{aligned} \overline{n_o^2(t)} &= \frac{N_0}{2} \int_0^{mT_r} s^2(t - \tau) dt \\ &= \frac{N_0}{2} \sum_{i=1}^m \int_{(i-1)T_r}^{iT_r} s^2(t - \tau) dt = m \frac{N_0 E_s}{2} \end{aligned}$$

- 互相关器输出的最大峰值信噪比为

$$\frac{R_s^2(t_r)}{\overline{n_o^2(t)}} = m \frac{2E_s}{N_0}$$



- 采用自相关器接收信号时，不需要预先知道接收信号 $s(t)$ 的形式,这比需要预先知道信号 $s(t)$ 形式的互相关器应用范围要广一些



- 互相关器与匹配滤波器的关系

- 互相关器输入信号  $r(t) = s(t) + n(t)$

- 互相关器输出信号  $y_c(t) = \int_0^t r(t)s(t)dt$

$$t \geq T : y_c(t \geq T) = \int_0^T r(t)s(t)dt$$

- 匹配滤波器冲激响应函数  $h(t) = s(t_0 - t)$

- 匹配滤波器输出 
$$y_m(t) = \int_0^t h(\tau)r(t - \tau)d\tau$$
$$= \int_0^t s(T - \tau)r(t - \tau)d\tau$$

$$y_m(t = T) = \int_0^T s(T - \tau)r(T - \tau)d\tau$$
$$= \int_0^T s(\tau')r(\tau')d\tau' \quad (\tau' = T - \tau)$$





- 在白噪声情况下，匹配滤波器和互相关器在  $t=T$  时刻是等效的，可以用匹配滤波器代替互相关器来组成最佳的检测系统。
- 在具体应用中，匹配滤波器和互相关器考虑问题的出发点和实现方法是有差别的。
- 互相关器：主要考虑输入信号时域上的特性，对互相关器的综合在时域上进行
- 匹配滤波器：主要考虑输入信号频域上的特性，对匹配滤波器的综合在频域上进行
- 实际应用中，必须根据输入信号时间函数和频谱密度函数的不同特性，考虑用互相关器还是匹配滤波器。



## 3. 色噪声下的匹配滤波器

- 依据伯恩斯坦多项式, 若  $f(x) \in \mathbb{C}[0, 1]$

其  $n$  阶伯恩斯坦多项式: 
$$B_n(x) = \sum_{k=0}^n f\left(\frac{x}{n}\right) C_n^k x^k (1-x)^{n-k}$$



**伯恩斯坦(1880 ~ 1968)**  
(德国?) 苏联大数学家?



### 3. 色噪声下的匹配滤波器

- 依据伯恩斯坦多项式, 若  $f(x) \in \mathbb{C}[0, 1]$

其  $n$  阶伯恩斯坦多项式: 
$$B_n(x) = \sum_{k=0}^n f\left(\frac{x}{n}\right) C_n^k x^k (1-x)^{n-k}$$



伯恩斯坦(1880 ~ 1968)  
(德国?) 苏联大数学家?

- 1964年, Newman给出了  $|x|$  在  $[-1, 1]$  上的一个有理函数逼近:

$$p(x) = \prod_{k=1}^{n-1} (x + a^k), \quad r_n(x) = \frac{x[p(x) - p(-x)]}{p(x) + p(-x)}.$$

其中  $a = e^{-1/\sqrt{\pi}}$

$$\|x| - r_n(x)\| \leq \frac{2}{e^{\sqrt{n}} - 1} \leq 3e^{-\sqrt{n}} \quad (n \geq 5).$$



$$\sqrt{1+x} = 1 + \sum_{n=1}^{\infty} 0.5(0.5-1)\dots(0.5-(n-1)) \frac{x^n}{n!}$$

$$R_3(x) = \frac{x^3 + 18x^2 + 48x + 32}{6x^2 + 32x + 32}$$

$$\text{令 } x=1 \text{ 可得: } \sqrt{2} \approx R_3(1) = \frac{99}{70} = 1.41429\dots$$

实际上,  $\sqrt{2} = 1.414213\dots$



$$\ln(1+x) = \sum_{n=1}^{\infty} (-1)^{n+1} x^n / n$$

$$R_4(x) = \frac{420x + 630x^2 + 260x^3 + 25x^4}{420 + 840x + 540x^2 + 120x^3 + 6x^4}.$$

$$\ln 2 \approx R_4(1) = 0.6931463...$$

误差小于  $10^{-6}$



$$\ln(1+x) = \sum_{n=1}^{\infty} (-1)^{n+1} \frac{x^n}{n}$$

$$R_4(x) = \frac{420x + 630x^2 + 260x^3 + 25x^4}{420 + 840x + 540x^2 + 120x^3 + 6x^4}.$$

$$\ln 2 \approx R_4(1) = 0.6931463\dots$$

误差小于  $10^{-6}$

$$e^x = 1 + \sum_{n=1}^{\infty} \frac{x^n}{n!}$$

$$e^x \approx \frac{1680 + 840x + 180x^2 + 20x^3 + x^4}{1680 - 840x + 180x^2 - 20x^3 + x^4} \quad e \approx \frac{2721}{1001}$$

误差小于  $10^{-7}$



## 4. 色噪声下的匹配滤波器

- 假设色噪声的功率谱密度函数  $\Phi_n(w)$  是一个连续函数, 则它可以近似为一个有理函数。

$$\Phi_n(s) \approx P_n(s) / Q_m(s) = a^2 \frac{\prod_{i=1}^n (s - \alpha_i)}{\prod_{i=1}^m (s - \beta_i)}$$

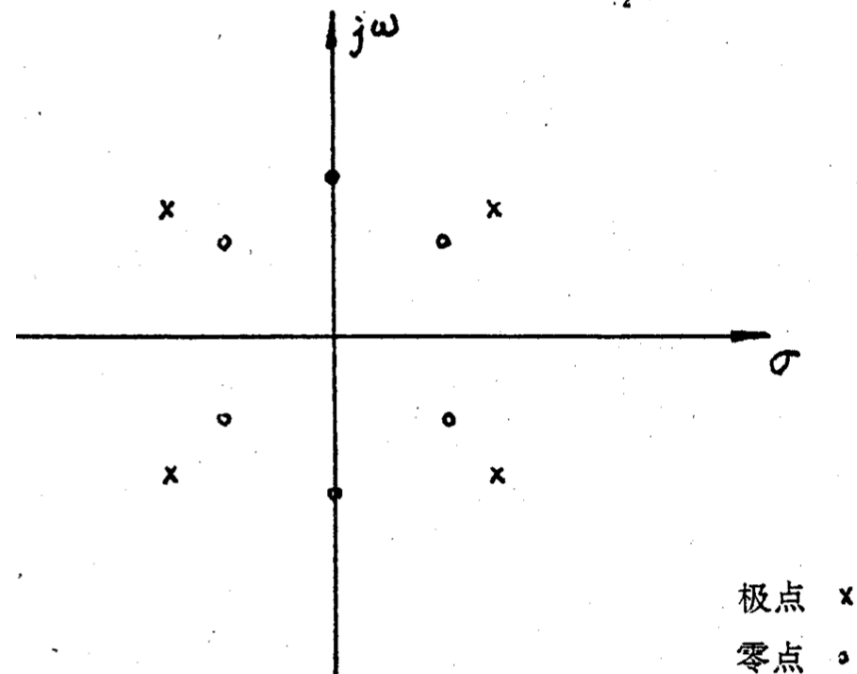
$$\alpha_k \neq \beta_l$$

其中  $\alpha_k$  和  $\beta_l$  分别是  $\Phi_n(s)$  的零点和极点



在  $\sigma + j\omega$  的复数平面上，零点和极点的分布特点为

- 对于  $\sigma$  轴对称，否则  $\Phi_n(s)$  将不是实的。
- 对于  $j\omega$  轴对称，否则  $\Phi_n(s)$  将不是偶的。
- 在  $j\omega$  轴上任何零点都成对出现，否则将对  $\omega$  的某些值是负的。
- 在  $j\omega$  轴上没有极点。







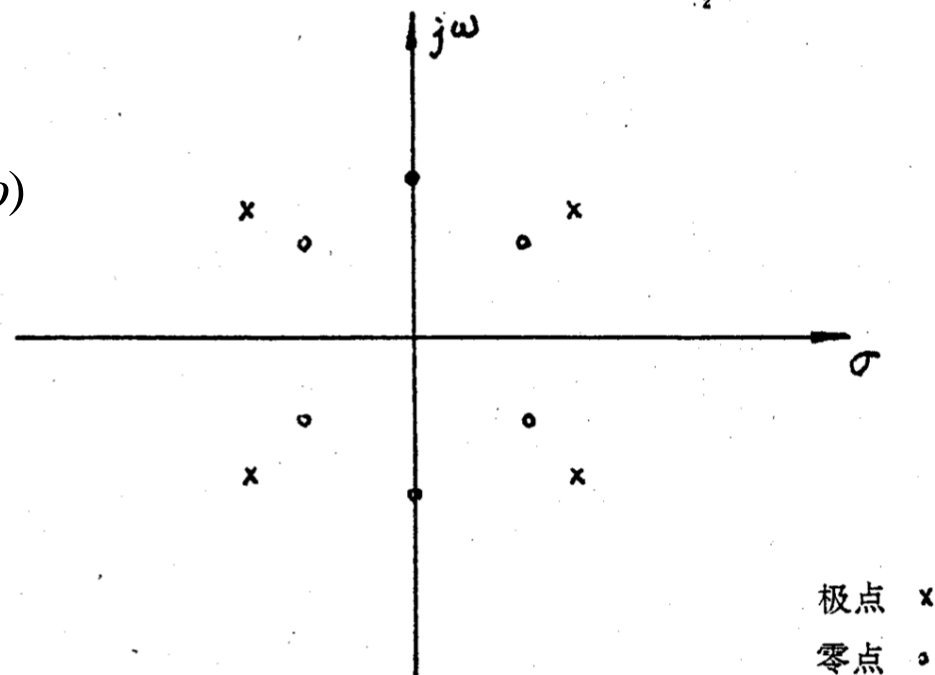
在  $\sigma + j\omega$  的复数平面上，零点和极点的分布特点为

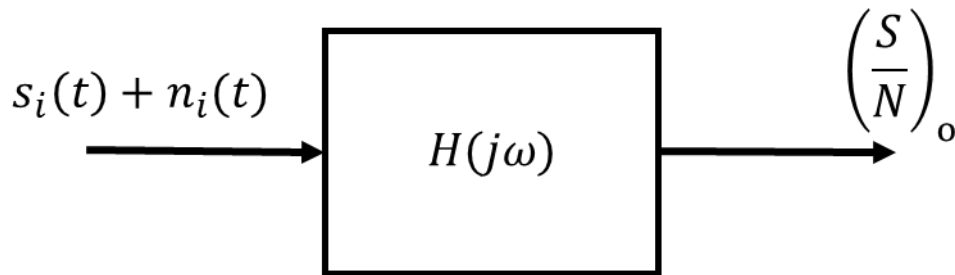
- 对于  $\sigma$  轴对称，否则  $\Phi_n(s)$  将不是实的。
- 对于  $j\omega$  轴对称，否则  $\Phi_n(s)$  将不是偶的。
- 在  $j\omega$  轴上任何零点都成对出现，否则将对  $\omega$  的某些值是负的。
- 在  $j\omega$  轴上没有极点。

$$\Phi_n(s) = \Phi_n(j\omega) \equiv \Phi_n(\omega) = G_n^+(\omega) G_n^-(\omega)$$

$$G_n^+(\omega) = a \frac{(j\omega - \alpha_1) \cdots (j\omega - \alpha_n)}{(j\omega - \beta_1) \cdots (j\omega - \beta_m)}$$

$$G_n^-(\omega) = a \frac{(j\omega - \alpha_1^*) \cdots (j\omega - \alpha_n^*)}{(j\omega - \beta_1^*) \cdots (j\omega - \beta_m^*)}$$





- 计算使输出信噪比最大的线性滤波器的传递函数
- 设滤波器的输入信号  $s_i(t)$ ，其频谱为  $S_i(j\omega)$
- 在滤波器的输出端，得到的信号为

$$s_o(t) = \frac{1}{2\pi} \int_{-\infty}^{\infty} S_i(j\omega) H(j\omega) e^{j\omega t} d\omega$$

- 滤波器输出端噪声的平均功率为

$$\overline{n_o^2(t)} = \frac{1}{2\pi} \int_{-\infty}^{\infty} \Phi_n(\omega) |H(j\omega)|^2 d\omega$$



• 在  $t = t_0$  时刻，滤波器输出瞬时功率信噪比为

$$\frac{|s_o(t_0)|^2}{\overline{n_0^2(t)}} = \frac{\left| \frac{1}{2\pi} \int_{-\infty}^{\infty} S_i(j\omega) H(j\omega) e^{j\omega t_0} d\omega \right|^2}{\frac{1}{2\pi} \int_{-\infty}^{\infty} \Phi_n(\omega) |H(j\omega)|^2 d\omega} = \frac{1}{2\pi} \frac{\left| \int_{-\infty}^{\infty} S(j\omega) / G_n^-(\omega) \cdot H(j\omega) G_n^-(\omega) e^{j\omega t_0} d\omega \right|^2}{\int_{-\infty}^{\infty} \Phi_n(\omega) |H(j\omega)|^2 d\omega}$$



• 在  $t = t_0$  时刻，滤波器输出瞬时功率信噪比为

$$\begin{aligned} \frac{|s_o(t_0)|^2}{\bar{n}_0^2(t)} &= \frac{\left| \frac{1}{2\pi} \int_{-\infty}^{\infty} S_i(j\omega) H(j\omega) e^{j\omega t_0} d\omega \right|^2}{\frac{1}{2\pi} \int_{-\infty}^{\infty} \Phi_n(\omega) |H(j\omega)|^2 d\omega} = \frac{1}{2\pi} \frac{\left| \int_{-\infty}^{\infty} S(j\omega) / G_n^-(\omega) \cdot H(j\omega) G_n^-(\omega) e^{j\omega t_0} d\omega \right|^2}{\int_{-\infty}^{\infty} \Phi_n(\omega) |H(j\omega)|^2 d\omega} \\ &\leq \frac{1}{2\pi} \frac{\int_{-\infty}^{\infty} \left| \frac{S_i(j\omega)}{G_n^-(\omega)} \right|^2 d\omega \cdot \int_{-\infty}^{\infty} |G_n^-(\omega)|^2 |H(j\omega)|^2 d\omega}{\int_{-\infty}^{\infty} \Phi_n(\omega) |H(j\omega)|^2 d\omega} \end{aligned}$$



• 在  $t = t_0$  时刻，滤波器输出瞬时功率信噪比为

$$\begin{aligned} \frac{|s_o(t_0)|^2}{\overline{n_0^2}(t)} &= \frac{\left| \frac{1}{2\pi} \int_{-\infty}^{\infty} S_i(j\omega) H(j\omega) e^{j\omega t_0} d\omega \right|^2}{\frac{1}{2\pi} \int_{-\infty}^{\infty} \Phi_n(\omega) |H(j\omega)|^2 d\omega} = \frac{1}{2\pi} \frac{\left| \int_{-\infty}^{\infty} S(j\omega) / G_n^-(\omega) \cdot H(j\omega) G_n^-(\omega) e^{j\omega t_0} d\omega \right|^2}{\int_{-\infty}^{\infty} \Phi_n(\omega) |H(j\omega)|^2 d\omega} \\ &\leq \frac{1}{2\pi} \frac{\int_{-\infty}^{\infty} \left| \frac{S_i(j\omega)}{G_n^-(\omega)} \right|^2 d\omega \cdot \int_{-\infty}^{\infty} |G_n^-(\omega)|^2 |H(j\omega)|^2 d\omega}{\int_{-\infty}^{\infty} \Phi_n(\omega) |H(j\omega)|^2 d\omega} \\ &= \frac{1}{2\pi} \int_{-\infty}^{\infty} \left| \frac{S_i(j\omega)}{G_n^-(\omega)} \right|^2 d\omega \end{aligned}$$



• 在  $t = t_0$  时刻，滤波器输出瞬时功率信噪比为

$$\begin{aligned} \frac{|s_o(t_0)|^2}{\bar{n}_0^2(t)} &= \frac{\left| \frac{1}{2\pi} \int_{-\infty}^{\infty} S_i(j\omega) H(j\omega) e^{j\omega t_0} d\omega \right|^2}{\frac{1}{2\pi} \int_{-\infty}^{\infty} \Phi_n(\omega) |H(j\omega)|^2 d\omega} = \frac{1}{2\pi} \frac{\left| \int_{-\infty}^{\infty} S(j\omega) / G_n^-(\omega) \cdot H(j\omega) G_n^-(\omega) e^{j\omega t_0} d\omega \right|^2}{\int_{-\infty}^{\infty} \Phi_n(\omega) |H(j\omega)|^2 d\omega} \\ &\leq \frac{1}{2\pi} \frac{\int_{-\infty}^{\infty} \left| \frac{S_i(j\omega)}{G_n^-(\omega)} \right|^2 d\omega \cdot \int_{-\infty}^{\infty} |G_n^-(\omega)|^2 |H(j\omega)|^2 d\omega}{\int_{-\infty}^{\infty} \Phi_n(\omega) |H(j\omega)|^2 d\omega} \\ &= \frac{1}{2\pi} \int_{-\infty}^{\infty} \left| \frac{S_i(j\omega)}{G_n^-(\omega)} \right|^2 d\omega \end{aligned}$$

• 等号取到的条件：

$$k(S_i(j\omega) / G_n^-(j\omega))^* = G_n^-(j\omega) H(j\omega) e^{(j\omega t_0)}$$



- 根据施瓦兹不等式中等号成立的条件，则

$$k(S_i(j\omega)/G_n^-(j\omega))^* = G_n^-(j\omega)H(j\omega)e^{(j\omega t_0)}$$

$$H(j\omega) = \frac{k}{G_n^-} \left( \frac{S_i(j\omega)}{G_n^-(j\omega)} \right)^* e^{-j\omega t_0} = \frac{kS_i^*(j\omega)}{\Phi_n(\omega)} e^{-j\omega t_0}$$



- 根据施瓦兹不等式中等号成立的条件，则

$$k(S_i(j\omega)/G_n^-(j\omega))^* = G_n^-(j\omega)H(j\omega)e^{(j\omega t_0)}$$

$$H(j\omega) = \frac{k}{G_n^-} \left( \frac{S_i(j\omega)}{G_n^-(j\omega)} \right)^* e^{-j\omega t_0} = \frac{kS_i^*(j\omega)}{\Phi_n(\omega)} e^{-j\omega t_0}$$

- 匹配滤波器的传递函数 $H(j\omega)$ 相当于两个滤波器的串联

$$H(j\omega) = W(j\omega) \cdot M(j\omega)$$

$$W(j\omega) = k_1 \frac{1}{G_n^-(\omega)}$$

$$M(j\omega) = k_2 \frac{S_i^*(j\omega)}{[G_n^-(\omega)]^*} e^{-j\omega t_0} \quad k = k_1 \cdot k_2$$





## 色噪声情况下的匹配滤波器

- 输入信号加噪声通过前一个滤波器变为白噪声

$$\Phi_{nw}(w) = \Phi_n(\omega) \cdot |W(j\omega)|^2 = \Phi_n(\omega) k_1^2 \frac{1}{|G_n^-(\omega)|} = k_1^2$$



## 色噪声情况下的匹配滤波器

- 输入信号加噪声通过前一个滤波器变为白噪声

$$\Phi_{nw}(\omega) = \Phi_n(\omega) \cdot |W(j\omega)|^2 = \Phi_n(\omega) k_1^2 \frac{1}{|G_n^-(\omega)|^2} = k_1^2$$

- 信号通过第一个滤波器后，输出信号 $s_w(t)$ 的频谱密度为

$$S_w(j\omega) = S_i(j\omega) W(j\omega) = k_1 \frac{S_i(j\omega)}{G_n^-(\omega)}$$



## 色噪声情况下的匹配滤波器

- 输入信号加噪声通过前一个滤波器变为白噪声

$$\Phi_{nw}(\omega) = \Phi_n(\omega) \cdot |W(j\omega)|^2 = \Phi_n(\omega) k_1^2 \frac{1}{|G_n^-(\omega)|} = k_1^2$$

- 信号通过第一个滤波器后，输出信号 $s_w(t)$ 的频谱密度为

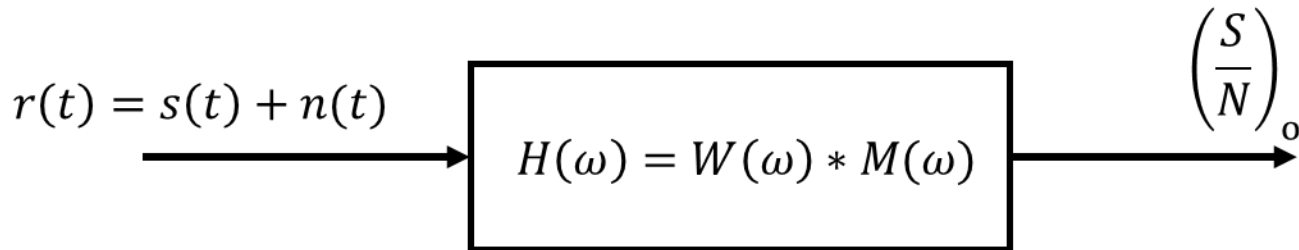
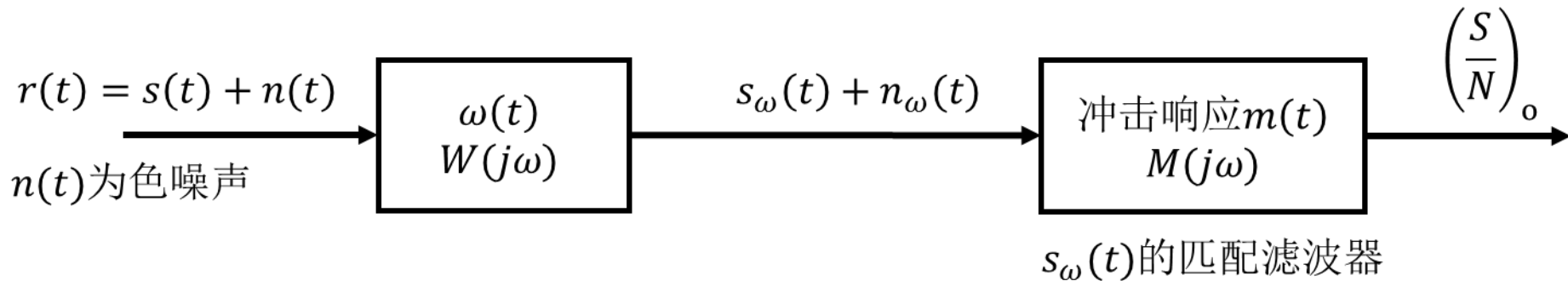
$$S_w(j\omega) = S_i(j\omega)W(j\omega) = k_1 \frac{S_i(j\omega)}{G_n^-(\omega)}$$

- 第二个滤波器是白噪声情况下信号 $s_w(t)$ 进行匹配滤波

$$M(j\omega) = k_2' S_w^*(j\omega) e^{-j\omega t_0} = k_2' k_1 \frac{S_i^*(j\omega)}{[G_n^-(\omega)]^*} e^{-j\omega t_0} = k_2 \frac{S_i^*(j\omega)}{[G_n^-(\omega)]^*} e^{-j\omega t_0}$$

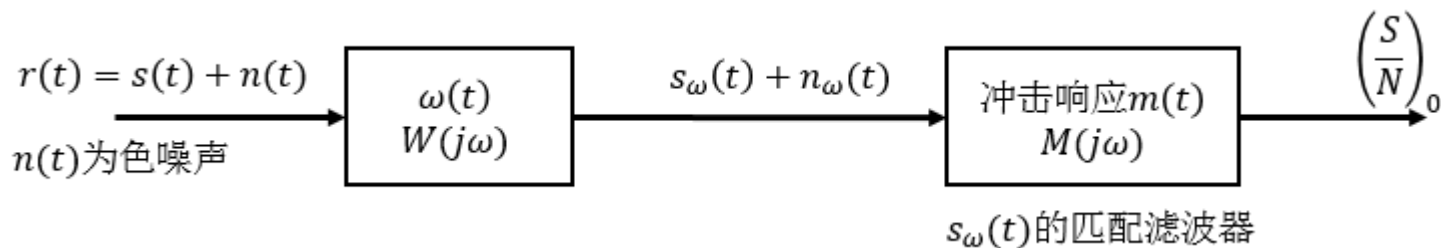


- 予白化方法：利用一个线性滤波器，把色噪声过滤成白噪声，然后再利用熟知的白噪声处理方法





- 初始接收信号  $r(t) = s(t) + n(t)$
- 经过白化滤波输出信号  $s_w(t) + n_w(t)$
- 有用信号成份  $s_w(t) = s(t) * \omega(t)$
- 白噪声  $n_w(t) = n(t) * \omega(t)$
- 通过白噪声情况下的匹配滤波器，选择  $t = T$  为抽样时刻，则传递函数为  $M(\omega) = S_w^*(\omega)e^{-j\omega T}$
- 其中  $S_w(j\omega) = S(j\omega) \cdot W(j\omega)$





**复习：**

**理解和掌握几个基本方法：**

广义似然比检测

序贯检测

匹配滤波器（白噪声下）

噪声预白化、色噪声下的匹配滤波器

**数学的本质**



## 作业：

信号：  $x(t) = 1 - \cos \omega_0 t \quad (0 \leq t \leq 2\pi / \omega_0)$

噪声：  $\Phi_n(\omega) = \omega_1^2 / (\omega^2 + \omega_1^2)$

设  $T = 2\pi / \omega_0$ ，求匹配滤波器及最大信噪比。



# 谢谢大家！

自己做到并提醒家人注意自我防护！